

# 應用先進光學感測及量測技術於 複材風機結構的預兆診斷

本篇論文應用布拉格光纖光柵 (FBG) 與數位影像相關法 (DIC) 兩項技術來建構精密的實 驗量測方法,FBG 具有多點及微應變 (Microstrain) 的量測精度,且可同時量測溫度,DIC 亦具有微米級 (Micrometer) 的位移量測精度,是全域式的三維變形量測技術。文中先以兩 種精密量測技術,進行複材懸臂板模擬風機葉片受力及受溫度加載的全場三維變形量測, 以及承受撞擊的動態應變量測,進行瑕疵檢測,進而針對與風機結構相似的電風扇進行動 態量測,並以頻譜的特徵來診斷產生的振動因素,最後針對實體複材風機葉片結構進行量 測與分析,並提出可行的瑕疵檢測方法,期望精密量測技術可應用於實際風機運轉時的瑕 疵檢測。

毌 馬鈺棠、何昭慶

關鍵詞:微米級精密量測、布拉格光纖光柵、數位影像相關法、風機葉片、預警系統

**ラ**に破壊量測技術可以偵測結構中的瑕疵、強悪機士で 一 疵,進而增加系統設備的使用壽命, 並且保障產品 的安全可靠度,因此非破壞 檢測在工業上的應用範圍及重要性與日俱 增。布拉格光纖光柵感測器 (FBG) 具有低 成本、高靈敏度、多點的量測能力以及不受 電磁波干擾等優勢,光纖光柵為具有可撓性 的細長線狀感測器,不僅能夠安裝於狹小的 極端區域,亦可埋入結構物中進行長期監 測,記錄其受力及溫度而產生變形的變化, 確保結構之完整性與安全性。光纖光柵以光 訊號進行傳輸,不會受到環境的電磁波所干 擾,且有長距離傳輸訊號的優勢,同時也具 有 耐腐蝕與抗高溫的能力,適合在惡劣的 環境中工作,而不影響其感測能力,保持其 高精密度與高準確度。目前對於光纖光柵感 測器的研究大多著重在單一物理量的量測, 而本文基於光纖光柵可解析多場耦合物理量 的特性,開發多點動態及熱學的感測器,針

對結構的共振頻率、溫度及熱膨脹係數進行 精密量測及分析,並應用在複材結構瑕疵的 檢測。(龔瑞清,2017)(廖尉翔,2022)

數位影像相關法 (DIC) 是一種非接觸且 全域式的量測技術,僅需相機的硬體設備, 且其量測系統的架設與校正簡單,可配合不 同的取像設備達成跨尺度及跨領域量測,並 且可同時量測多重物理量,結合多台相機亦 可達成三維的全場量測,為全方位之量測技 術。近年來取像設備的迅速發展,使得數位 影像的取得越來越便利,且使用影像量測具 有前述等優勢,因此吸引國內外許多學者及 產業界投入 DIC 的研究與技術開發。本文 應用本實驗室自行開發的數位影像相關法量 測系統,並利用 DIC 非接觸及多尺度的全 場量測優勢,分別量測有瑕疵與無瑕疵複材 結構於單點受力或熱負載的全場三維位移 變化,結構變形量從毫米至微米的跨尺度特 性,皆可以得到精密的量測結果,並將單點





面外力位移與雷射位移計驗證,熱變形的量 測結果則配合熱電偶,計算熱膨脹係數達成 相互的驗證。由全場三維變形全場量測的結 果,直接偵測缺陷的所在位置。(Puri, 2008) (R.Wu, 2019)

並進而以直立型風扇模擬風機系統, 搭配光纖光柵感測器及數位影像相關法量測 風扇運轉時的動態響應,分析電風扇在不同 運轉條件下的動態應變訊號與頻率等特徵, 並以 DIC 量測振動頻率後與轉速計進行比 對,探討系統本身的振動頻率及葉片轉速頻 率特性。研究最後並應用於實際小型風機葉 片的動態量測及瑕疵檢測上,以四顆螺栓將 葉片固定於光學桌上,進行小型風機葉片特 性之研究,設計不同位置與不同種外力加載 於葉片的應變量測實驗,包括自由振動,載 重自由振動、敲擊振動、風襲振動、螺栓鬆 緊應變等實驗,特別針對螺栓鬆脱的狀況進 行深入的探討,研究個別螺栓的鬆緊對葉片 固定端造成的應變影響,而由所獲得的風機 葉片系統共振頻率的變化可運用在風機葉片 螺栓的鬆緊的判斷。

本文結合光纖光柵感測器及數位影像相 關法精密量測複材結構的變形,並快速評估 複材結構的瑕疵及監測結構的損傷,建立快 速且經濟非破壞瑕疵的檢測方法,可協助製 **浩業者分析工件瑕疵及大型結構長時間的監** 測與壽命評估等。

# 布拉格光纖光柵量測複材熱學及 含瑕疵動態特性

本章研究以風機葉片所使用的複合材料 為主題,利用光纖光柵進行不同量測實驗。 對不同纖維排列的複合材料進行加熱的熱變 形實驗和鋼珠撞擊懸臂薄板的動態實驗,並 經由頻譜的特性來檢測含瑕疵複合材料的可 行性,並在後續章節有關複材風機葉片的瑕 疵檢測實際應用。

#### 一、布拉格光纖光柵原理

布拉格光纖光柵 (Fiber Bragg Gating; FBG) 是由三層不同折射率的材料以軸對 稱的圓柱結構組合而成。根據司乃爾定律 (Snell's Law),纖殼和纖核之間不同的折射 率關係使光在纖核內進行全反射傳播,利用 紫外光在光纖纖核上蝕刻形成短週期光柵, 當光纖受力產生伸縮或是溫度改變時,光柵 間的距離產生變化,而纖核共振中心波長也 隨之飄移,因此可以利用光纖光柵波長飄移 的特性,量測待測物之應變、溫度及動態訊 號。

# 二、複合材料熱學性質溫升及熱膨脹係數量 測實驗

本小節先探討複合材料懸臂薄板的熱 學性質,量測複合材料結構物在升溫過程中 的熱應變變化,同時搭配熱電偶記錄溫度變 化。結果顯示光纖光柵的波長漂移量可用來 量測溫度變化及熱變形,並可進一步分析獲 得複材結構不同方向之熱膨脹係數,此實驗 亦將探討瑕疵對於複材結構的應變變化與熱 膨脹係數影響,作為結構物損傷的監測指標。

# (一)實驗架設

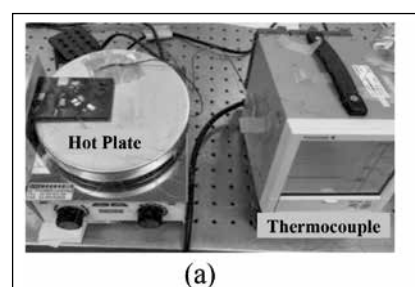
圖一(a)為實驗一架設示意圖,將碳纖 維複合材料薄板黏貼於金屬夾層塊上端形 成懸臂板,並在下方放置加熱盤,複材薄板 上端貼有光纖光柵與熱電偶的溫度量測探 頭。圖一 (b) 為三條光纖光柵黏貼在複材懸 臂薄板上的位置及方向,分別為垂直黏貼

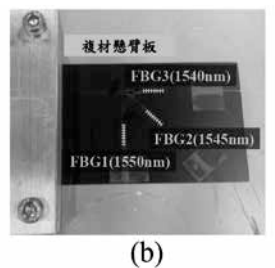




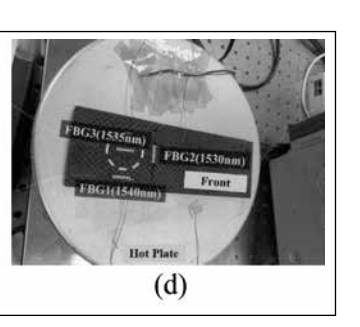
的 FBG1、傾斜黏貼的 FBG2 及水平黏貼的 FBG3,光柵段旁都同時黏貼熱電偶進行溫 度測量。

實驗二使用碳纖維複合材料厚板,並 在試片背面鑿不同深度及寬度的圓孔洞(圖 一(c)),在其中一個底部有孔洞的複材表面 黏貼光纖光柵, 使其光柵段通過缺陷中心 (FBG3),再黏貼水平與垂直各一條光纖光 柵如圖一(d)。加熱試片至 75°C 後關閉加熱 盤電源進行降溫,探討光纖光柵在有無缺陷 的試片表層所量測的波長飄移與熱膨脹係數 量值。









圖一 (a) 實驗一架設圖 (b)FBG 黏貼位置 (c) 複材孔洞位置 (d) 實驗二架設圖

## (二)實驗結果

經由實驗一結果顯示測得 FBG 波長漂 移數據與熱電偶測得的溫升結果有高度的 關聯性,進行擬合也展現完全的一致性, 數據經過計算後所得熱應變的時間歷程及 熱膨脹係數數值。 實驗結果顯示 FBG1 的 熱膨脹係數為 21.4 μm/°C; FBG2 的熱膨脹 係數為 14.4 μm/°C; FBG3 的熱膨脹係數 為 0.54 μm/°C。值得注意的是垂直黏貼的 FBG1 與水平黏貼的 FBG3 熱膨脹係數有約 40 倍的差值,與電子顯微鏡觀察到的纖維 排列方式特性符合,結果顯示沿著懸臂板 長邊方向複材的熱伸長量極小,溫度每升 高 1 度僅產生  $0.53~\mu m$  的熱伸長量。

實驗二量測結果如圖二 (a),可以看到 光纖光柵的波長飄移曲線與熱電偶的溫度 變化曲線亦幾乎完全重合,顯示 FBG 可量 測溫度升降的變化結果。亦可得光纖光柵 在有缺陷區域 (FBG3) 的熱膨脹係數為 1.81 μm/°C 較沒缺陷的位置 (FBG1 及 FBG2) 的 熱膨脹係數 (1.66 μm/°C 與 1.29 μm/°C) 大,

因此證明光纖光柵可以進行溫度的量測,也 可藉由熱膨脹係數量值判斷缺陷是否存在。

#### 三、撞擊動態應變及共振頻率分析實驗

受損的材料經撞擊後會呈現不同的共振 頻率,經由複合材料薄片一邊夾持固定後, 進行不同長度的割痕瑕疵及鋼珠進行不同位 置的撞擊,經由光纖光柵感測器獲得動態應 變,探討複材試片在有瑕疵時的共振頻率變 化。

#### (一)實驗架設

圖二(b)為實驗儀器架設圖,將懸臂薄 板的金屬固定塊鎖固於光學桌上,並架設一 滑坡軌道使鋼珠撞擊懸臂薄板不同的三個位 置,每次新實驗都會在固定端增加割痕,總 共有5種不同形式的割痕,以持續增加割痕 長度進行實驗量測。如圖二(c)中黃色虛線 所示,量測貼附的三條不同方向的光纖光柵 波長變化結果,並經由快速傅立葉轉換繪出 共振頻率,探討割痕瑕疵對懸臂薄板共振頻 率的影響。

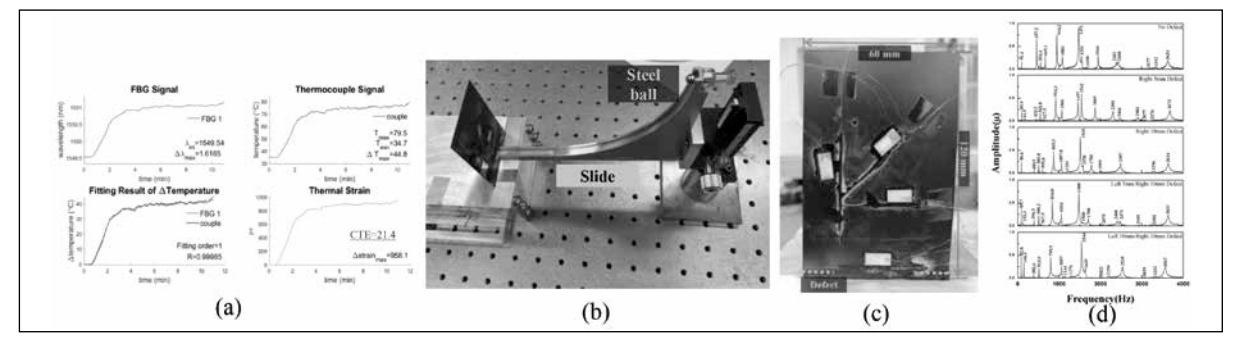




#### (二)實驗結果

實驗結果呈現不同割痕瑕疵分析的前五 個完整共振頻率,並列出三條 FBG 於三個 不同鋼珠撞擊點的前五個共振頻率,把每條 相同的共振頻率進行平均值計算,顯示共振 頻率在不同的撞擊點與量測點所得的數值幾 平一致,也符合共振頻率的原理及特性。

經過鋼珠撞擊後的複材薄板所激發的時 域動態應變訊號,響,而右邊為時域訊號經 過快速傅立葉轉換 (FFT) 後的頻域訊號圖。 可以由圖中所呈現的結果發現,經由比較不 同種類的缺陷且相同撞擊點的結果,懸臂薄 板不同缺陷的共振頻率差異,每增加新的缺 陷,整體的共振頻率都會明顯減少許多。最 上方為無割痕的頻域圖,由圖二(d)中顯示 撞擊點 1 所激發的第一共振頻率作比較,從 無割痕的 91.4 Hz 下降至 89.9、86.6、85.7、 82.8 Hz,其他共振頻也有類似的結果。



圖二 (a) 熱膨脹係數擬合 (b) 實驗架設圖 (c)FBG 及瑕疵位置 (d) 頻域結果圖

由此實驗可知,藉由不同量測點與撞擊 點所提取的共振頻,都可以用來判斷試片是 否有損壞的依據,共振頻率是反映結構的動 態特性,而共振頻率的變化直接與缺陷大小 及數量相關,故缺陷的狀態可由結構物共振 頻來作監測。

# 應用數位影像相關法於複材結構 全場精密變形量測

#### 一、懸臂複材薄板受力加載的三維變形量測

本小節將數位影像相關法 (DIC) 應用在 懸臂複材薄板的全場靜態位移量測,分析懸 臂薄板受到單點施力後的全場變形。DIC 可 以在比較嚴格要求的環境下進行量測,需要 先進行鏡頭校正後才可開始進行取像與分析 特徵點的位移量測。

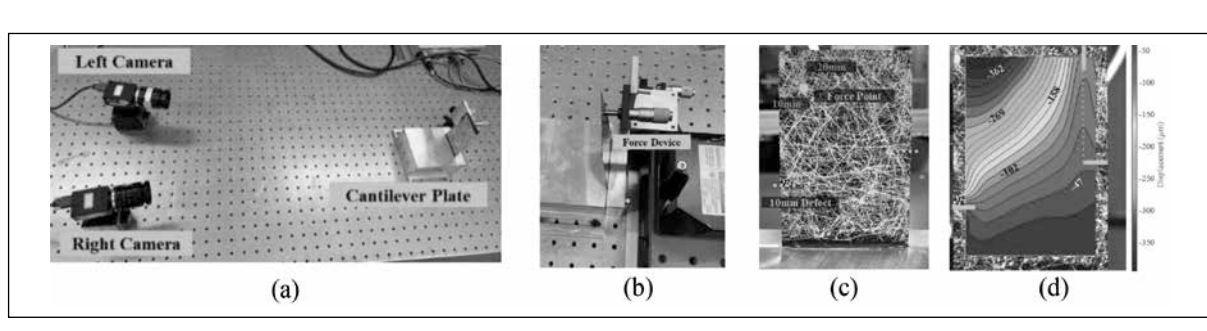
#### (一)實驗架設

實驗架設如圖三(a)所示,我們將長方 形複材試片底邊固定於夾具中,並鎖固在光 學桌上,試片表面使用白色噴漆造成交叉線 條特徵做為 DIC 追蹤的特徵。試片後方架 設螺旋測微器,可以進行精準位移推進,如 圖三(b)。試片前方架設兩台工業相機,搭 配鏡頭架設於試片前的左方與右方,實驗前 需要先校正工業相機鏡頭,並在黃色虛線 處製造三條裂痕,如圖三(c)。一共追蹤長 邊 10 個點與短邊 9 個點,共 90 個點的三維 位移數據,並繪製出全場位移結果的 變形 圖。推力變形實驗主要使用螺旋測微器進行 固定距離的推進,每次推進完就使用雙相機 進行取像,共有5次,每次增加螺旋測微器 轉動一圈的推進距離 (0.5 mm)。









圖三 (a) 力變形實驗架設圖 (b) 螺旋測微器 (c) 瑕疵位置 ( 黃虛線 ) (d) 三瑕疵力變形結果

#### (二)實驗結果

無缺陷的全場位移變形量測結果在靠近 固定端的區域有較小的位移量,顯示複材懸 臂板在試片下方為固定端位移為零的邊界條 件,而在靠近施力點的左上角頂端有最大的 位移,因為那裡為受力推進的上方區域。

單一缺陷位於試片左下角,有很明顯在 缺陷附近有更集中的位移變化,而隨著推進 圈數越多,位移場就越往瑕疵處聚集,清楚 展現缺陷對於三維全場位移的影響;兩個缺 陷位於試片左下角及右上角的受力變形全場 位移量測結果,不論在第幾圈的推進實驗, 三維全場的位移與一個缺陷的位移場呈現一 致的趨勢,原因推測是缺陷與纖維排列方向 相同所以沒有造成明顯位移場;三個缺陷的 受力變形 Z 方向量測結果如**圖三** (d)。在試 片右邊中間製造出一處缺陷,可以看到圖中 的右上角就有由中下方延伸到上方的等值 線,那是因為複材纖維排列方向與兩處缺陷 所造成的皺褶,垂直缺陷與皺褶處卻有造成 三維全場位移的增大及變化。

#### 二、懸臂複材薄板受熱三維變形量測

#### (一)實驗架設

本小節探討溫度變化時缺陷對複材結構 全場熱變形造成的影響並討論缺陷位置的檢 測。實驗架設如圖四(a)所示,將複材懸臂 板後方放置加熱圓盤並對其進行加溫, 在固 定端、試片上端黏貼熱電偶同時進行量測, 並在複材試片前方架設兩台相機,取樣時間 設定為 3 秒取 1 張影像,量測時間約 1800 秒,前450秒為加熱盤加熱的時間,剩下約 1350 秒為關掉加熱裝置後進行降溫,而圖 中也有分析 9 個點的位移隨時間變化之熱變 形詳細歷程,並做成位移與時間曲線圖,可 以完整呈現整個實驗的時間與位移變化。

#### (二)實驗結果

無缺陷全場熱變形,X 方向的變形沿長 邊中軸兩邊反對稱;Y 方向的變形由固定端 向自由段遞增且沿長邊中軸左右對稱; Z 方 向則呈現沿長邊中軸左右對稱的趨勢。比較 三種方向量測結果,Y 方向的變形量遠小於 X 方向,而由 FBG 量測得到的熱膨脹係數 呈現 Y 方向遠小於 X 方向,兩種量測方法 獲得一致的結果,故複材懸臂板沿著纖維方 向基本不產生熱變形,而沿 Z 方向則產生頗 大的熱翹曲變形。

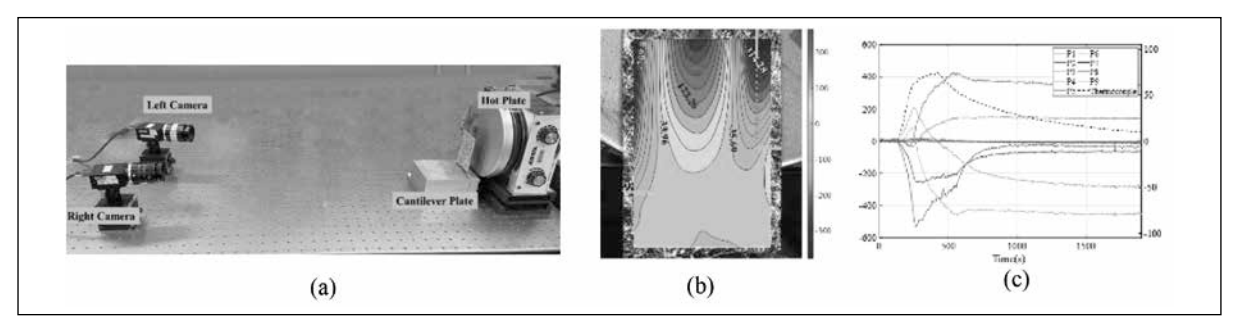
一個缺陷的實驗結果,三個方向皆有較 大的變形量,而缺陷也破壞了變形場的對稱 性,在平行缺陷附近有較大且明顯的位移場 變化,且在缺陷上方區域展現劇烈的位移變 化。





二個缺陷的實驗同時存在水平與垂直 缺陷三維全場熱變形的量測結果,顯示比僅 具有 1 處缺陷整體呈現較大的全場變形,平 行缺陷對於複材結構的熱變形有較顯著的影 響,且可由全場的變形圖直接觀察得知平行 缺陷的位置,而垂直缺陷對於複材結構的熱 變形則影響較不明顯。

最後在複材懸臂板右端中間再增加一處 的水平裂縫,其全場熱變形及九個點的位移 量值呈現於**圖四(b)、(c)**,由全場三維熱變 形圖中顯示三個缺陷的全場變形圖與兩個缺 陷有非常大的變化,明顯呈現第三個缺陷所 造成的影響,呈現左右對稱的特性。尤其是 Z 方向的翹曲現象,不論是無缺陷或是一處 及兩處缺陷全場皆是負值,表示翹曲的方向 皆相同,但三處缺陷則全場有正值(中央區 域)及負值(兩邊區域),表示翹曲的方式 及現象更為複雜。



圖四 (a) 熱變形實驗架設圖 (b) 三瑕疵熱變形結果 (c) 不同點位移隨時間變化圖

# 應用電風扇模型之動態量測模擬 風機

本章將兩項量測技術相互驗證,分別 量測動態位移及動態應變,並經由快速傅立 葉轉換 (FFT) 分 別獲得電風扇各結構部位 的共振頻率,經由本章的量測結果及訊號解 讀,期望可應用於提取實際風 機運轉時的 感測器訊號並獲得風機運轉時的相關重要 資訊,分析風機葉片及支承結構的振動頻率 等,證實風力發電機運轉有可量測的規律性 與風機可行的量測與監測方法。

# 一、數位影像相關法應用於電風扇運轉量測 (一)實驗架設

數位影像相關法實驗的系統架設如圖 五(a)所示,本實驗使用二維的 DIC 量測方 式,故僅需使用一台工業相機與筆記型電腦 連結,可由圖片左上方的筆記型電腦中顯示

工業相機的取像範圍,並分別在電風扇上方 馬達黏貼 1 張 QR code, 而支撐軀幹的結構 上、中兩處各黏貼一張 QR code。

實驗一次的取像時間總長為21秒,共 擷取 1200 張的圖像進行分析, 2D-DIC 的量 測座標系統相機的橫軸方向是 DIC 量測的 X 軸方向位移,而縱軸是 Y 軸方向位移。 共使用3種不同的電風扇運轉速度進行實 驗,分別為低轉速、中轉速及高轉速,這三 種不同轉速是配合電 風扇可控制三種不同 的風速作切換,本實驗也進行受到旁邊另一 台電風扇風力吹襲影響的實驗架設,此為模 擬風力發電機受環境風吹的情境,為了驗證 數位影像相關法量測的準確性,我們在電扇 葉片上黏貼一銀色亮片,並使用轉速計量測 電風扇三種不同運轉速度的葉片轉速,並與 DIC 量測的結果作相互驗證。





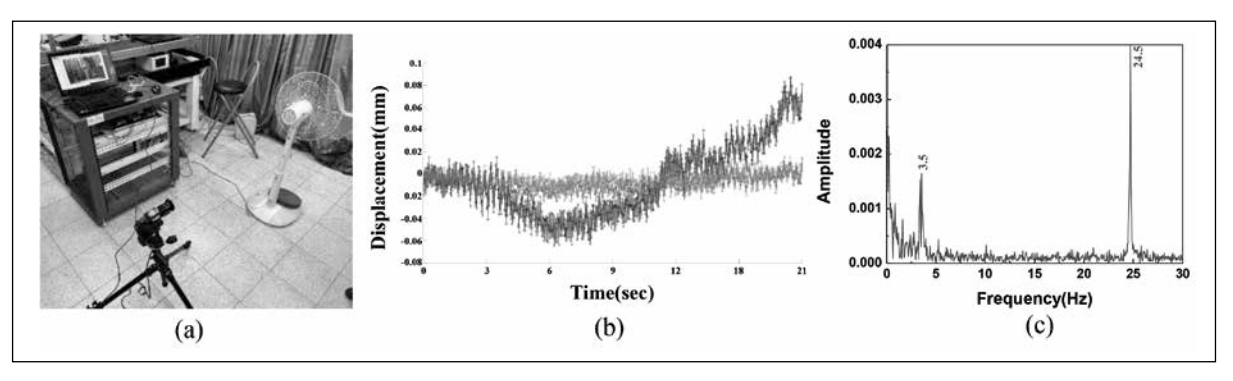


#### (二)實驗結果

將電風扇前罩移除,為了避免前罩的結 構阳擋電風扇運轉時風的送出,而造成反作 用力影響實驗結果,也較適宜模擬實際風力 發電機運轉的狀態,亦在電風扇底部使用重 鐵塊進行重量施壓,可穩定並降低電風扇本 身運轉的震動而造成整體搖晃影響。

圖五(b) 為量測出來的時域訊號結果, X 方向的水平位移會有無規律的振幅變化, 最大達 0.08 mm 的低頻位移量,經 FFT 轉換 後的頻域結果如圖五(c)所示,利用 2D-DIC 進行頻率量測的結果都與轉速計相近,相差 值約僅為 1 Hz。低中高轉速所量測出來的頻 域訊號峰值都有其轉速值與 3Hz 左右的頻 率,應是電風扇整體結構振動的頻率。

而使用另一台電風扇在左邊進行不同風 速的吹襲實驗結果,在頻率域中並沒有呈現 前面葉片運轉時的高頻頻率,僅有一低頻約 3.0Hz,與先前實驗相似,應是電風扇整體 結構振動的頻率。



圖五 (a) 風扇 DIC 實驗架設圖 (b) 時域結果圖 (c) 頻域結果圖

#### 二、布拉格光纖光柵應用於電風扇運轉量測

由上節數位影像相關法的結果可知, 電風扇整體結構振動的頻率為 3 Hz 左右, 另一個共振頻率則隨著轉速有不同的頻率結 果,而布拉格光纖光柵又相較 DIC 的量測 精細且取樣頻率更高,因此藉由接下來的光 纖光柵量測實驗可以有不同的結果進行相互 比較探討。

#### (一)實驗架設

拆解風機前罩後將布拉格光纖光柵黏 貼在幾處電風扇結構關鍵的地方,分別為 電風扇的支撐塔架軀幹上;風扇馬達外殼 上方平行與垂直; 電扇葉片轉軸附近, 共 4 條光纖光柵,每條的詳細位置如**圖六 (a)** (b)(c)。本次實驗共量測 20 秒,取樣頻率 為 37500 Hz。

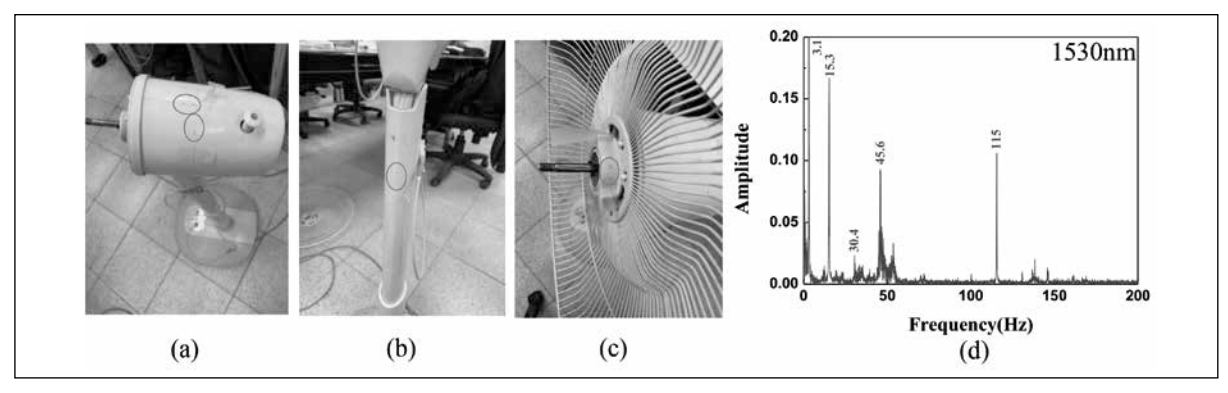
#### (二)實驗結果

電風扇動態應變的時域訊號結果顯示, 應變的量值非常小,僅有幾個  $\mu\varepsilon$  動態應變 的變化,但光纖光柵感測器仍可清楚呈現結 果,對應低、中、高轉速時電風扇葉片旋轉 的頻率,這些 頻率在以下的頻譜分析結果 中也會清楚顯示。

圖六 (d) 為電風扇低轉速的實驗結果, 分别將 1530 nm、1540 nm、1545 nm、1555 nm 的四條光纖所量測出的時域結果經傅立 葉轉換後的頻域結果,可以看到除了上章 節提到的系統振動頻率(約3 Hz)與該轉動 速度振動頻率 (約 15 Hz) 外,在 200 Hz 的 頻率範圍,還有30 Hz、45 Hz與115 Hz為 4條 FBG 都有出現的共振頻率,風機旋轉



片有 3 片,因此 30 Hz 與 45 Hz 推測為原本 15 Hz 的 2 倍頻與 3 倍頻, 而 115 Hz 在接下 來的實驗中均有出現,推測為馬達的轉速震 動所造成的。

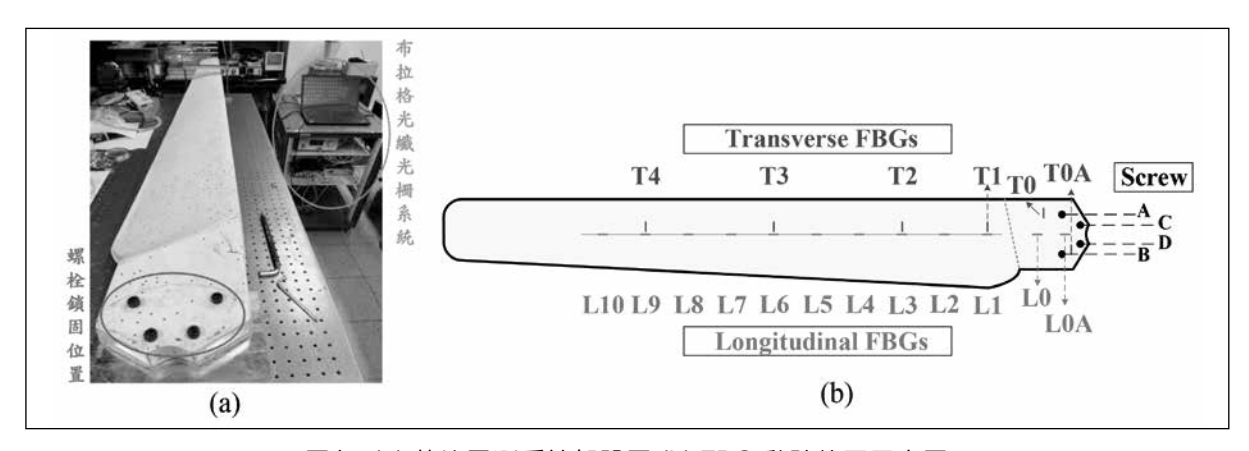


圖六 (a)(b)(c)FBG 黏貼位置(紅框處)(d)頻域結果圖

# 布拉格光纖光柵小型風機葉片量測

首先介紹 FBG 黏貼於風機葉片的位 置,本章所有實驗中光纖光柵都是按照此 黏貼的位置進行數據的量測及分析。實驗的 系統架設如圖七 (a) 所示, 風機葉片總長約 210 公分,將風機葉片固定端用螺栓鎖於金 屬塊上,並將金屬塊固定於光學桌上,使葉 片形成除了固定端外都懸空的狀態,以模擬 風機葉片運轉時的狀況,葉片端幾乎都是懸 空於光學桌上,並在風機葉片表面黏貼 18

段光纖光柵,須注意的是這 18 段光纖光柵 的共振波長皆不同。葉片的固定端有黏貼 4 條 FBG 如圖七 (b), 其中 L0 及 L0A 為水平 黏貼於葉片方向的 FBG,而 T0 及 T0A 為 垂直於葉片方向的 FBG,葉片上懸空段則 黏貼有 14 條 FBG, 分別是 L1~L10 為水平 方向、T1~T4為垂直方向。值得一提的是 L1~L10為同條光纖上不同位置的10段光 柵,表示有10個量測點。



圖七 (a) 葉片量測系統架設圖 (b) FBG 黏貼位置示意圖

#### -、單顆螺栓鬆脫後鎖固之應變時間歷程

進行螺栓的鬆緊對於葉片固定端貼附 的光纖光柵應變影響實驗。本節的實驗為風 機葉片被自身的重力與固定端螺栓鬆緊造成 支撐條件影響而改變的應變,我們只針對固 定端的螺栓進行不同的鬆緊調整,葉片整體 應變所產生的變化需由精準的應變量測進行 分析。而此實驗設計就是研究其中的應變關





量測(技)術

係,進而可由光纖光柵所量測應變的變化來 判斷螺栓鬆緊的狀況及程度,以監測風機葉 片運轉時的安全性。

## (一)實驗架設

本實驗為分別鬆脱A、B、C與D螺 栓, 實驗流程為鬆脱螺栓並再轉緊, 完成後 再重複一次,全程約為 110 秒。鎖緊的定義 為我們使用電子扭力板手鎖緊至螢幕顯示 15 N·m 的扭力為止,而轉鬆的定義為扭力 板手顯示 $0 N \cdot m$ 的扭力。

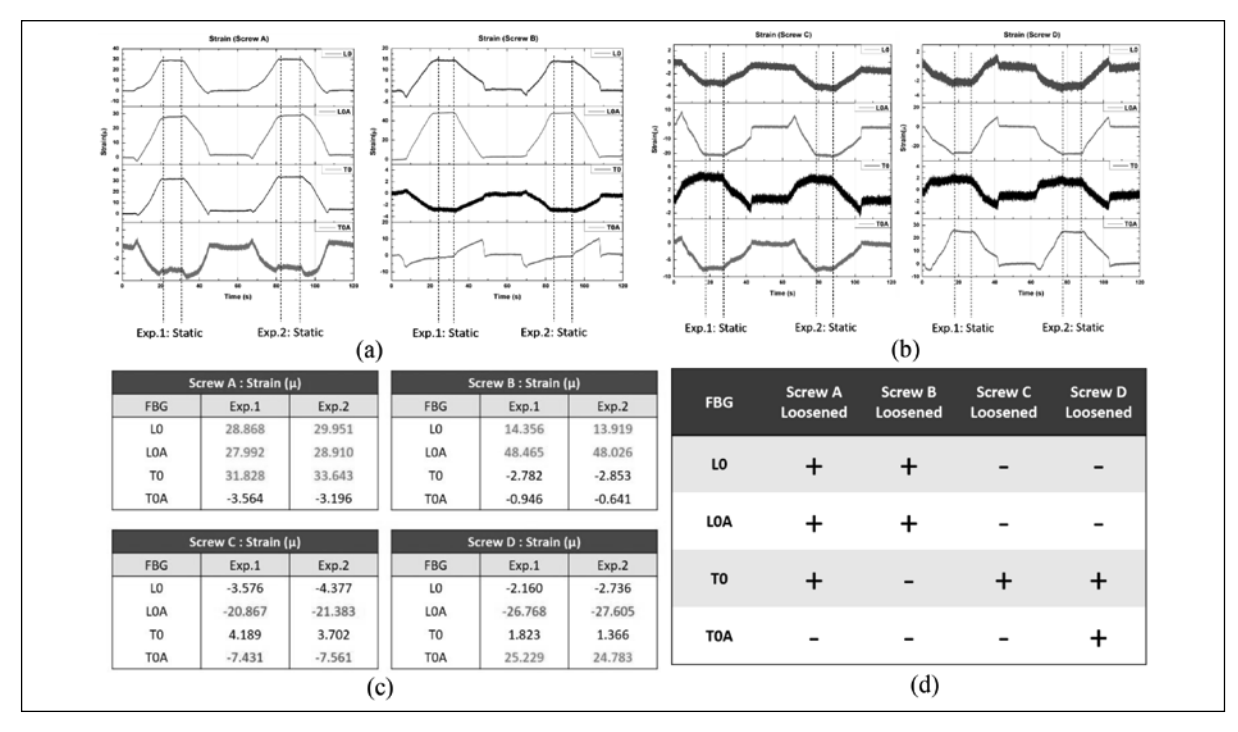
#### (二)實驗結果

圖八 (a) 為螺栓 A 與 B 鬆脱再鎖緊過程 中應變的變化結果; 圖八 (b) 為螺栓 C 與 D 的實驗結果圖,每張結果圖共取在固定端螺 栓附近的 4 條 FBG 來作分析,分別是 L0、 LOA、TO、TOA,且都是黏貼於固定端表面 上的 FBG。

由結果圖顯示不同位置的 FBG 所呈現 量測的應變結果有些許不同也分別呈現一 些特殊的特性,如A螺栓的實驗中,唯獨 TOA 的應變在鬆動螺栓時會先微微上升再下

降使應變呈現微小的負值,且量值僅有 4 με 的變化,而其他三條 FBG 的應變變化則相 近,約為 30  $\mu\varepsilon$ ;而當 A 螺栓鎖緊後則應變 回復到 0,在第二次鬆脱 A 螺栓及鎖緊過程 中的應變變化則與第一次相同。B 螺栓鬆脱 的實驗中,TOA 也呈現較特別的變化,在轉 鬆的時後應變會先瞬間下降 8 με 左右, 隨 時間增加再緩慢上升,而轉緊的時候會先緩 慢上升,等到轉緊的那一瞬間,應變值會瞬 間驟降約  $10 \mu \epsilon$ , 應變則恢復為零。C 與 D 螺栓的實驗中,都可以發現上述提到的螺栓 轉動後造成固定端 4 條 FBG 呈現的特殊應 變變化情形。

將螺栓鬆脱並達平衡後的應變取其數值 (圖八(a)(b)中的黑色虛線區域),並把四 條 FBG 的值整理成表格,如圖八 (c) 所示, 將黑虛線段的應變值平均後列入表中,將此 圖表以定性的正負值來呈現,如**圖八 (d)**就 有明顯的定性結果,不同螺栓鬆脱都有不同 的應變正負值特性,因此我們可以根據這4 條的 FBG 正負值來快速判斷是哪顆螺栓鬆 脱,而各螺栓鬆脱的程度,則可由四條光纖 的量值來作定量的判定。



圖八 (a)(b) 不同螺栓鬆脫應變變化 (c) 平衡後的應變數值 (d) 將數值以正負號顯示





#### 二、葉片承受敲擊之動態應變及共振頻率實驗

上節主要為準靜態式的施力方式,如: 壓力、螺栓鬆緊所造成的應變,而本小節的 實驗為使用塑膠敲擊槌進行敲擊葉片表面後 所產生的動態應變。實際風力發電機葉片可 能遭遇不同物件的撞擊,且光纖光柵又可以 埋入於葉片中的複合材料夾層裡隨時進行量 測,本節實驗所獲得的風機葉片系統共振頻 率可運用在實際風機葉片的檢測或是監測上。

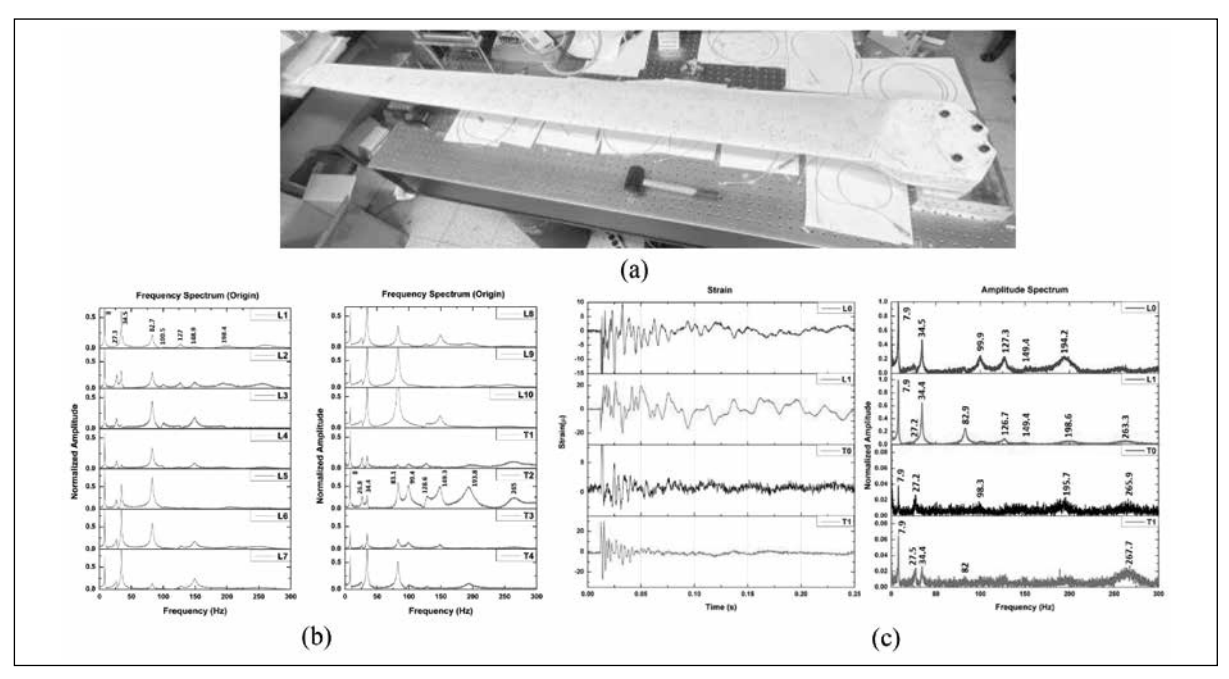
#### (一)實驗架設

實驗架設如圖九 (a), 進行了不同數量 螺栓鬆緊狀況的敲擊實驗,分別為4顆螺栓 全鎖固、鬆 A 螺栓、鬆 AB 螺栓、鬆 ABC 螺栓。並進行不同葉片表面位置的敲擊, 單次實驗量測時間為15秒,取樣頻率為 1000 Hz。

### (二)實驗結果

全部螺栓鎖緊並經敲擊後產生的應變 時域暫態訊號,而經過快速傅立葉轉換後, 即為頻域訊號如**圖九(b)**,顯示不同位置 的 FBG 所呈現頻域訊號圖的共振頻都很相 近,但有時模態共振頻率並不會被激發,而 由圖中顯示 T2 所量測激發出來的共振頻為 最多模態,原因可能是距離敲擊點最近的緣 故。圖九(c)為在固定端 FBG 的訊號分析, 左邊是時域訊號而右邊則是轉換成頻域訊號 的結果,顯示其動態應變的量值較小,但仍 呈現與自由端相近的共振頻率。

將所有自由端 14 條 FBG 所量測出來所 有模態的共振頻率詳細定量呈現,前4個模 熊皆能被激發,十四條光纖所得結果並作平 均,分別為第一共振頻 8.0 Hz;第二共振頻 26.5 Hz; 第三共振頻 34.4 Hz; 第四共振頻 82.9 Hz, 而較高的共振頻則約有 1/3 無法激 發。由結果可以發現,共振頻率會隨著螺栓 鬆脱的數量增加而降低,如螺栓全緊的第一 共振頻率為 8.0 Hz; A 螺栓鬆脱的第一共振 頻率為 7.7 Hz; AB 螺栓鬆脱的第一共振頻 率為 7.5 Hz; ABC 螺栓鬆脱的第一共振頻 率為 7.0 Hz, 因此共振頻率的變化可以用來 檢測及監測葉片約有幾顆螺栓鬆脱,此實驗 結果特性也將應用於下一小節的螺栓鬆脱判 斷方式。



圖九 (a) 敲擊實驗示意圖 (b) 無螺栓鬆脫頻域結果 (c) 固定端 FBG 量測結果







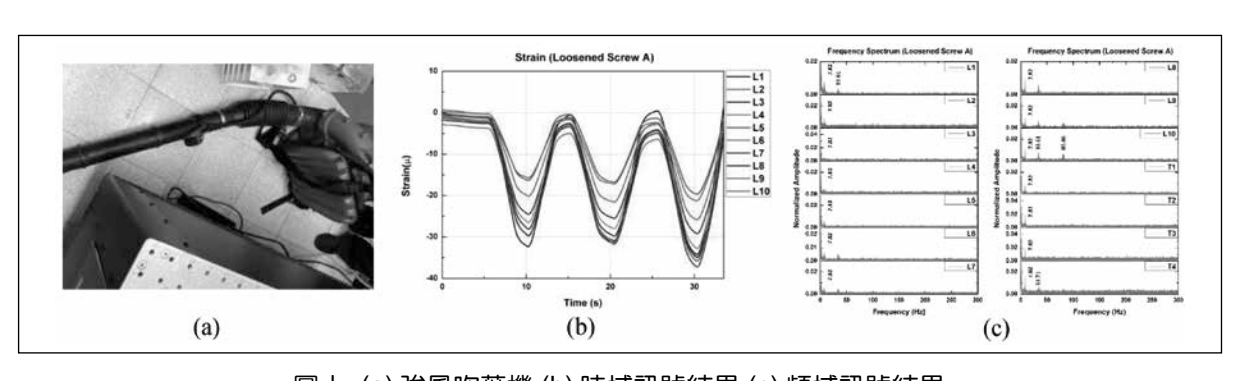
# 三、風機葉片受風力加載之振動量測及監測 (一)實驗架設

實際運轉的風機葉片會受到自然風的 吹動,所以我們亦模擬葉片被風吹動並產生 振動的情境。我們使用強力吹葉機(如圖十 (a)),調整吹葉機出風口對準葉片自由端下 方處,進行吹葉機強風吹襲葉片3次,每次 吹襲與休息各佔5秒。並分別對螺栓全緊、 鬆 A 螺栓、鬆 AB 螺栓、鬆 ABC 螺栓,各 別進行吹襲實驗,並由 FBG 量測動態應變。

## (二)實驗結果

呈現各水平 FBG(L1~L10) 的應變時間 歷程變化,由於吹葉機由葉片下端吹襲,所 以產生葉片上端表面的 FBG 皆為負值(壓 應變),由應變的量測結果的量值可與風力 的大小作連結,當超過預設值時可啟動停止 運轉的措施,保護風機安全。而經 FFT 轉 換後之頻域訊號結果,前幾共振頻率為 8.0 Hz、34.5 Hz,這些頻率與前章節所得的結 果相同。

圖十(b) 為一顆螺栓 A 鬆脱後的動態應 變結果,圖十(c)為其共振頻為 7.8 Hz,顯 示其共 振頻有下降的趨勢; 兩顆螺栓 AB 鬆 脱後的為其共振頻為 7.5 Hz, ABC 三顆螺栓 鬆脱後的共振頻為 7.0 Hz。可以發現其共振 頻亦有下降的趨勢,此螺栓鬆脱後的共振頻 與上節所獲得的結果一致,故由風力加載所 得的頻率亦可用未監測螺栓鬆脱的狀況,並 作為風機維修的準則。



圖十 (a) 強風吹葉機 (b) 時域訊號結果 (c) 頻域訊號結果

# 結論

布拉格光纖光柵 (FBG) 鋼珠撞擊懸臂薄板的實驗中,其共振頻率在不同量測點與不同撞 擊點都是相同的,顯示共振頻率是結構的特性不因量測點與撞擊點不同而改變,但割痕越多 或越長則共振頻率會下降越多,經過驗證,共振頻率的變化與割痕多寡成負相關,而共振頻 率的變化可直接與缺陷大小及數量作連結,因此可用共振頻率來作複材結構瑕疵的監測。數 位影像相關法 (DIC) 可直接偵測缺陷所在位置並作監測,熱負載的結果更可呈現升温及降温 過程中全場微米級的三維變形精密量測,也顯示 DIC 有能力進行微米級 ( $\mu m$ ) 的全場熱變形量 測。由熱變形的量測中也呈現本技術可針對結構件受熱所呈現的翹曲現象做定量的精密量測, 這項技術也可應用在半導體製程中晶圓及晶片所產生的熱翹曲問題的探討。

而電風扇實驗中,布拉格光纖光柵的量測因取樣頻率較高故可獲得高頻的振動頻率結果 也較為複雜,但透過實驗的結果,顯示 FBG 比 DIC 獲得了更多的風扇振動訊息,尤其是風扇







轉動頻率的 2、3 倍頻在頻譜圖中較為明顯突出,還有在頻譜圖中都出現的 115 Hz,推測為馬 逹轉動的振動頻率,因此證實使用 DIC 及 FBG 兩種方式量測結果都一致。小型風機葉片實驗 中,不同螺栓鬆脱黏貼於固定端的 4 條 FBG 會有不同的正負值應變變化,根據這項結果可以 用來推斷哪顆螺栓鬆脱,而鬆脱程度可以透過應變變化的量值來推估。而葉片之承受敲擊之 動態應變及共振頻率實驗中,顯示不同位置的 FBG 所呈現的頻域訊號圖共振頻率都很相近, 而不同螺栓鬆脱數量會影響敲擊後所呈現的共振頻率,螺栓鬆脱數量越多則共振頻率會下降 越多。

## 未來展望

- 一、針對小型風機葉片的螺栓鬆脱問題,進行更深入的探討,可進一步獲得螺栓鬆脱的程度, 並撰寫相關軟體可即時顯示結果,這套螺栓鬆脱的即時檢測方法,可使用於許多機械系 統的鎖固問題,增加機械結構系統的穩定及安全性,工程應用廣泛。
- 二、DIC 有微米級 (µm) 的全場熱變形量測能力,可應用在半導體製程中晶圓及晶片所產生的 熱翹曲問題,提升我國半導體的量測技術並提升產品量率,增加產品的競爭力。

## 參考文獻

- 1. 龔瑞清,馬劍清 (2017)。「開發布拉格光纖光柵感測器於多點與即時量測系統並應用在高速內藏 式主軸與銑削工件之温升、變形及轉速之精密量測」,碩士論文,機械工程學研究所,臺灣大
- 2. 廖尉翔,馬劍清 (2022)。「布拉格光纖光柵於固體結構多點動態應變及熱學量測之技術開發及資 料解析」,碩士論文,機械工程學研究所,臺灣大學。
- 3. Puri, J. P. Dear, A. Morris, and F. Jensen(2008), "Analysis of wind turbine material using digital image correlation," in Proceedings of the XIth International Congress and Exposition, Orlando, FL, USA, pp. 2-5.
- 4. R. Wu, D. Zhang, Q. Yu, Y. Jiang, and D. Arola(2019), "Health monitoring of wind turbine blades in operation using three-dimensional digital image correlation," Mechanical Systems and Signal Processing, vol. 130, pp. 470-483.

# 一作者 簡介

馬鈺棠 / 國立台北科技大學 機械工程系

何昭慶 / 國立台北科技大學 機械工程系 / 指導老師

